

**FIABILITATEA RULMENȚILOR.
DETERMINAREA EXPERIMENTALĂ A DURABILITĂȚII L_{10m}**

1. Scopul lucrării

Prezentarea caracterului stohastic al durabilității rulmenților. Metodica încercărilor de durabilitate la rulmenți.

2. Elemente teoretice

2.1. Modelarea Weibull

Pentru cazul rulmenților, Waloddi Weibull, [1] a adăugat la teoria rezistenței la oboseală încă două influențe: nivelul tensiunii τ și volumul V de material tensionat, exprimând probabilitatea de supraviețuire S în forma dată de relația:

$$\ln\left(\frac{1}{S(L)}\right) \sim \tau^c \cdot L^e \cdot V \quad (1)$$

2.2. Modelul Lundberg și Palmgren

Teoria de oboseală formulată de W. Weibull a fost utilizată de Lundberg și Palmgren, [2], [3], la prelucrarea unui volum imens de rezultate experimentale furnizate de un program extins de încercări de oboseală de contact realizate de firma SKF. Lundberg și Palmgren au luat în considerare tensiunea tangențială ortogonală în lungul direcției de rostogolire τ_{yz} , creată de încărcarea normală la suprafață, ca tensiune decisivă pentru oboseala contactului cu rostogolire. Pentru un punct din materialul tensionat tensiunea τ_{yz} are o evoluție alternant simetrică în timp (figura 1, [4]), evoluție recunoscută ca fiind cea mai periculoasă pentru fenomenul de oboseală.

În materialul elementelor de rulmenți pot exista impurități nemetalice (oxizi, sulfuri) provenite din elaborarea oțelului, sau defecte sub forma de modificări structurale (benzi albe, fluturași). Prezența acestor defecte determină o concentrare locală a tensiunilor motiv pentru care punctele respective sunt numite puncte slabe. Aceste puncte slabe sunt distribuite aleator pretutindeni în materialul rulmentului.

Modelul Lundberg și Palmgren admite ipoteza prin care inițierea fisurii de oboseală are loc în zona unui punct slab aflat la adâncimea z_0 sub

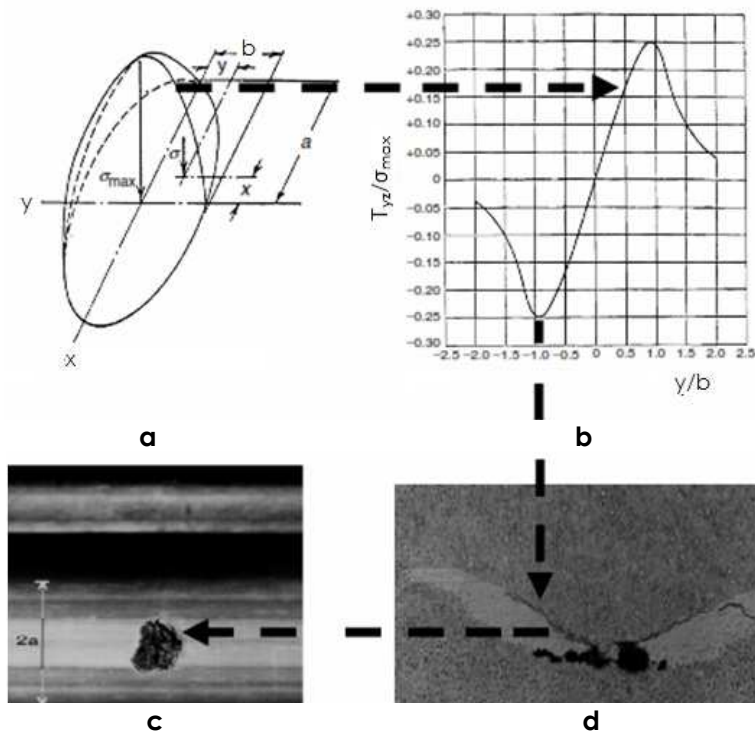


Fig. 1 Modelul Lundberg-Palmgren

a – distribuția ciclică a presiunii Hertziene, *b* – tensiunea tangențială ortogonală alternant simetrică, *c* – fisura sub suprafață într-un punct slab al materialului (formă de fluture), *d* – ciupitură (pitting) pe suprafața căii de rulare

suprafața de contact unde tensiunea tangențială ortogonală alternantă τ_{yz} atinge valoarea maximă τ_0 .

$$\ln\left(\frac{1}{S(L)}\right) = \frac{\tau_0^c \cdot L^e}{z_0^h} \cdot V = \frac{\tau_0^c \cdot L^e}{z_0^{h-1}} \cdot a \cdot l \quad (2)$$

unde volumul de material semnificativ tensionat a fost: $V = a \cdot l \cdot z_0$, în care a este lungimea axei mari a elipsei de contact și l este lungimea semiaxei mari a ariei eliptice de contact, figura 2.

Exponenții din ecuația (2) sunt prezentați în tabelul 1 așa cum au fost determinați de Lundberg și Palmgren, [2], [3], pentru rulmenți confecționați din oțelul de rulmenți cu 1% C și 1,6% Cr. Pentru oțelurile de rulmenți utilizate obișnuit exponentul e este între 1,1 și 1,5, în timp ce pentru oțelurile moderne (retopite în vid și de înaltă puritate) au fost găsite valori pentru e de la 0,7 la 3,5, [5].

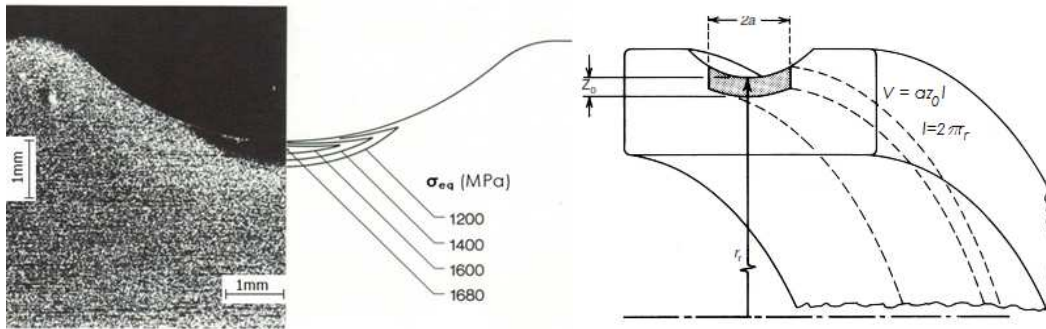


Fig. 2 Distribuția pe adâncime a tensiunii von Mises și materialul semnificativ modificat structural

Tabelul 1 Valorile exponenților din relația fiabilității rulmenților

Tipul rulmentului	e	c	h
Rulmenți cu contact punctual	10/9	31/3	7/3
Rulmenți cu contact liniar	9/8	31/3	7/3

2.3. Modelul Ioannides–Harris

În 1985 E. Ioannides și T. A. Harris, [6] adaugă trei îmbunătățiri la modelul clasic Lundberg și Palmgren asupra oboselii contactului cu rostogolire:

- i. înlocuirea tensiunii tangențiale ortogonale τ_{yz} cu tensiunea echivalentă von Mises σ_{eq} ;
- ii. existența unui prag de tensiune σ_U sub care nu există defectare;
- iii. considerarea materialului tensionat ca o sumă de volume elementare fiecare cu probabilitatea lui proprie de deteriorare, astfel încât, conform legilor probabilității, riscul total se obține prin integrare:

$$\ln\left(\frac{1}{S(L)}\right) = A \cdot L^e \cdot \int_V \frac{(\sigma - \sigma_U)^c}{z^h} \cdot dV, \quad \sigma > \sigma_U \quad (3)$$

Formularea analitică generală pentru durabilitatea rulmenților prezentată de Ioannides et al. în 1999, [7], este considerată în standardele internaționale ISO 281-2007, [8] și ISO 16281-2008, [9] și în stabilirea datelor de catalog ale producătorilor de rulmenți, [5].

2.4. Sarcina dinamică de bază a unui element de rostogolire

Pentru orice material elastic supus la solicitare de contact concentrat, aria de contact, distribuția de presiune și componentele tensorului tensiune pot fi exprimate ca funcții de sarcina de contact Q , geometria suprafețelor în contact exprimată de suma curburilor $\Sigma\rho$ și funcția curburilor $F(\rho)$ și de constantele elastice E și ν ale materialelor, [4]:

$$a = f_1[Q, \Sigma(\rho), F(\rho), E, \nu]; \quad \tau_0 = f_2[Q, \Sigma(\rho), F(\rho), E, \nu]; \quad z_0 = f_3[Q, \Sigma(\rho), F(\rho), E, \nu]$$

Astfel ecuația (2) devine:

$$\ln \left[\frac{1}{S(L)} \right] = f[\Sigma(\rho), F(\rho), E, \nu, l] \cdot L^e \cdot Q^{\frac{c-h+2}{3}} \quad (4)$$

care permite separarea sarcinii Q :

$$Q \cdot L^{3e/(c-h+2)} = A \cdot \Phi[\Sigma(\rho), F(\rho), E, \nu, l, S(L)] \quad (5)$$

Relația (4) arată dependența durabilității L de următorii parametri: încărcarea exterioară Q , geometria suprafețelor în contact (prin funcțiile $\Sigma\rho$ și $F(\rho)$), proprietățile materialului (constantele elastice E , ν și factorul de material A) și fiabilitatea impusă $S(L)$.

Pentru o fiabilitate (probabilitate de supraviețuire) $S = 0,9$, sarcina dinamică de bază Q_c a elementului de rostogolire (cale de rulare) este definită ca sarcina pe care elementul o va suporta un milion de rotații. Pentru obținerea lui Q_c în ecuația (4) trebuie considerat $S = 0,9$ și $L = 1$:

$$Q_c = A \cdot \Phi[\Sigma(\rho), F(\rho), E, \nu, l, S(L) = 0,9] \quad (6)$$

Este important de notat că sarcina dinamică de bază se poate evalua numeric atât timp cât geometria de contact, definită de $\Sigma\rho$ și $F(\rho)$, și parametrul de material A sunt cunoscute. Pentru aceeași fiabilitate $S = 0,9$, dar o durabilitate diferită L , rezultă din ecuațiile (4) și (5):

$$Q \cdot L^{3e/(c-h+2)} = Q_c \quad \Rightarrow \quad L = \left(\frac{Q_c}{Q} \right)^{\frac{c-h+2}{3e}} \quad (7)$$

Dacă se înlocuiesc exponenții c , h și e cu valorile din tabelul 1, avem:

$$L = \left(\frac{Q_c}{Q} \right)^3 \quad (8)$$

Ecuția (8) permite calculul, în milioane de rotații, a durabilității unei căi de rulare supusă la sarcină normală Q .

Deoarece sarcina dinamică de bază Q_c a fost definită pentru fiabilitate $S = 0,9$ echivalentă cu o probabilitate de defectare $F = 0,1$, durabilitatea astfel calculată este notată L_{10} .

2.5. Sarcina dinamică de bază a unui rulment

Față de cazul simplu al unui singur contact cu rostogolire, prezentat la punctul 2.3. rulmenții prezintă două particularități semnificative:

1 – în rulment există o multitudine de elemente solificate aflate simultan în contact cu rostogolire; obișnuit există două inele cu câte o cale de rulare și Z corpuri de rostogolire. Conform legii produsului probabilităților fiabilitatea rulmentului este determinată de produsul fiabilităților individuale:

$$S_{rulment} = S_{cii} \cdot S_{cie} \cdot S_1 \cdot \dots \cdot S_z \quad (9)$$

Practica industrială și încercările de laborator au arătat că fiabilitatea corpurilor de rostogolire este mult mai mare decât a căilor de rulare astfel încât se poate admite $S_1 = S_2 = \dots = S_z = 1$ și

$$S_{rulment} = S_{cii} \cdot S_{cie} \quad (10)$$

2 – sarcina care acționează pe cele două căi de rulare nu mai este constantă ci are o distribuție între zero și o valoare maximă Q_{max}

$$Q_{max} = \frac{F_r}{Z \cdot J_r \cdot \cos(\alpha)} \quad (11)$$

unde: α – unghiul de contact intern, iar J_r – integrala radială de sarcina dependentă de valoarea jocului intern, [10], [11].

Sarcina cu amplitudinea variabilă este înlocuită, pentru fiecare inel, cu câte o sarcină echivalentă cu amplitudine constantă:

$$Q_{eq-i} = Q_{max} J_i, \quad Q_{eq-e} = Q_{max} J_e \quad (12)$$

unde integralele J_i și J_e sunt de asemenea dependente de jocul intern.

Considerând cele două particularități se determină relațiile analitice de calcul a sarcinii dinamice de bază a fiecărei căi de rulare și apoi sarcina dinamică de bază a fiecărui rulment, [10]. Pentru fiecare tip de rulment relațiile de calcul sunt precizate în standardul internațional ISO 281-2007, [8]. Pentru fiecare tip și dimensiune de rulment, cataloagele de rulmenți [5], conțin obligatoriu, alături dimensiunile de gabarit, și valoarea sarcinii dinamice de bază, C .

2.6. Durabilitatea de bază L_{10}

Majoritatea aplicațiilor cu rulmenți necesită o durabilitate L atunci când rulmentul funcționează în condiții caracterizate de sarcina Q , turația n , regim de ungere, etc. Sarcina dinamică de bază C este utilizată pentru determinarea durabilității de bază L_{10} :

$$L_{10} = \left(\frac{C}{Q} \right)^p \quad (13)$$

unde exponentul p depinde de natura contactului pe căile de rulare.

2.7. Durabilitatea de bază modificată L_{10m}

Standardul internațional ISO 281-2008, [8], definește durabilitatea de bază modificată L_{10m} prin corijarea durabilității de bază cu doi factori, a_1 și a_{ISO} :

$$L_{10m} = a_1 \cdot a_{ISO} \cdot L_{10} = a_1 \cdot a_{ISO} \cdot \left(\frac{C}{Q} \right)^p \quad (14)$$

Factorul a_1 are valori în funcție de nivelul de fiabilitate admis: $a_1 = 1$ pentru $S = 0,9$, $a_1 = 0,64$ pentru $S = 0,95$, $a_1 = 0,077$ pentru $S = 0,9995$.

Factorul a_{ISO} consideră calitatea lubrifierii și nivelul de contaminare, [8].

Pentru condiții corecte de montaj și exploatare, valoarea L_{10m} astfel determinată va fi atinsă și depășită în 90% din cazuri, dar în 10% din cazuri rulmenții nu vor atinge durabilitatea de bază L_{10} . Nu se poate stabili prin calcul care va fi durabilitatea efectivă a unui rulment!

2.8. Dispersia durabilităților rulmenților.

Distrugerile altele decât cele cauzate de oboseala de contact sunt considerate că pot fi evitate dacă rulmentul a fost corect proiectat, fabricat, montat, lubrifiat și nu a fost supraîncărcat.

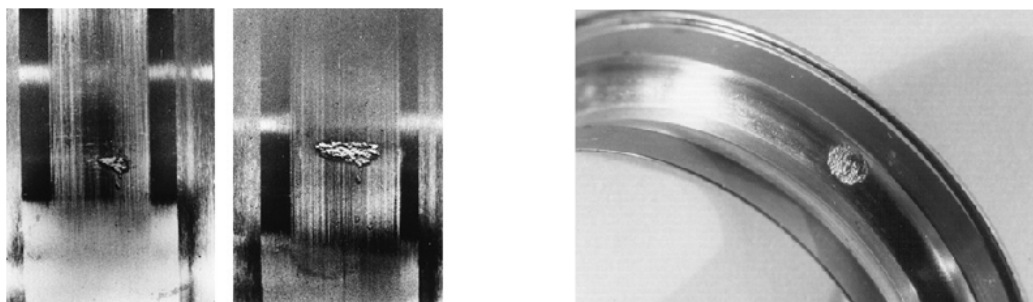


Fig. 3 Oboseala de contact evidențiată pe suprafețe la rulmenți

Standardele internaționale ISO 281-2007 și ISO/TS 16281-2008, [8], [9], estimează durabilitatea rulmenților pe baza inițierii sub suprafață a fenomenului de oboseală la contactul cu rostogolire. Aceste standarde includ factori de corecție care consideră posibilitatea inițierii pe suprafața de contact a fisurii de oboseală.

Durabilitatea rulmentului este definită ca durata sau numărul de rotații până la apariția unei urme de oboseală de mărime specifică (6 mm^2) cum evidențiază figura 3.

Dacă un număr aparent identic de rulmenți sunt testați la durabilitate în condiții identice de funcționare (încărcare, turație, ungere, temperatură, nivel de contaminanți) rezultă o *dispersie a durabilităților* rulmenților. Durabilitatea L_{10} este valoarea pe care 90% din rulmenți au depășit-o fără ca aria de exfoliere (spalling) să atingă criteriul mărimii definite. În același timp durabilitatea L_{10} semnifică faptul că 10% din rulmenții testați au prezentat durabilități inferioare valorii L_{10} .

Pentru orice lot de n rulmenți identici supus unui test de durabilitate sunt valabile următoarele:

- i. nu este posibilă evaluarea prealabilă a durabilității efective pentru nici un rulment al lotului;
- ii. după efectuarea testului, dispersia calculată ca raport între valorile extreme ale durabilităților este uzual mai mare decât 20;
- iii. după efectuarea testului 90% din rulmenți au durabilități mai mari decât L_{10} în timp ce 10% din rulmenți nu ating valoarea L_{10} .

În figurile 4 și 5 sunt exemplificate curbele distribuției densității de probabilitate a durabilităților pentru un număr de 100 de rulmenți cu role conice, respectiv distribuția probabilității cumulate a durabilităților funcție de probabilitatea de deteriorare, [12].

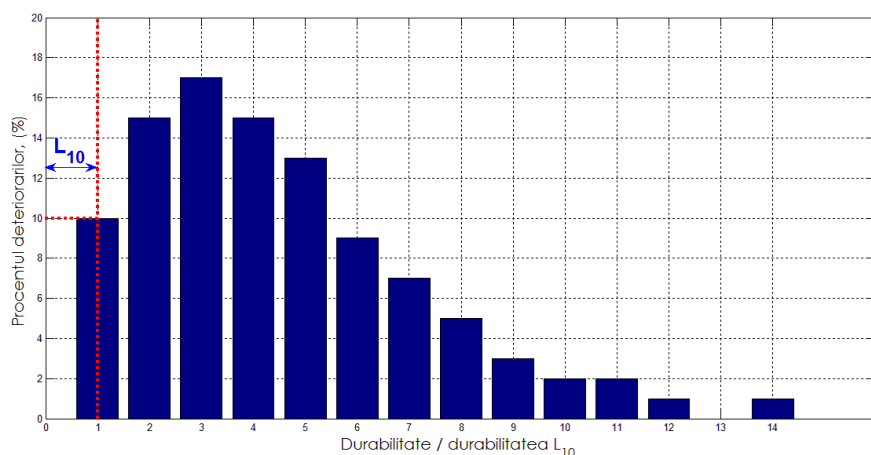


Fig. 4 Distribuția densității de probabilitate a durabilităților

2.9. Funcția Weibull densitate de probabilitate a durabilității rulmenților

Waloddi Weibull a modelat dispersia durabilităților unui lot de rulmenți identici prin corelarea probabilității de supraviețuire S cu durabilitatea L , aceasta fiind tratată ca variabilă aleatoare (vezi: Lucrarea 4 „Oboseala de contact. Funcția de repartiție Weibull”, relația (2)):

$$\ln \ln \left(\frac{1}{1-F(L)} \right) = e \cdot \ln \left(\frac{L}{L_{\beta}} \right) \quad (15)$$

Într-un grafic ce are în abscisă $\ln(L)$ și în ordonată $\ln \ln(1/1-F(L))$ ultima ecuație reprezintă o dreaptă (figura 6) cu parametrul e drept pantă (panta Weibull). Valoarea pantei e este o măsură a dispersiei durabilității rulmenților, valorile mici ale lui e indicând dispersii mari.

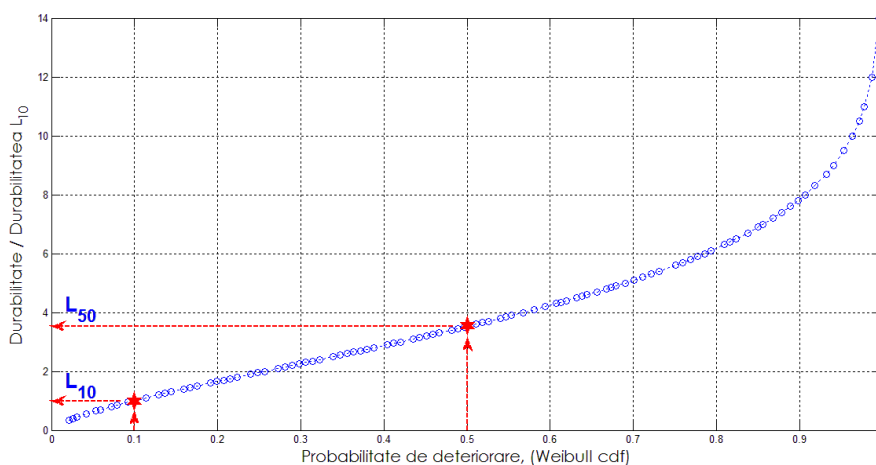


Fig. 5 Distribuția cumulată a durabilităților

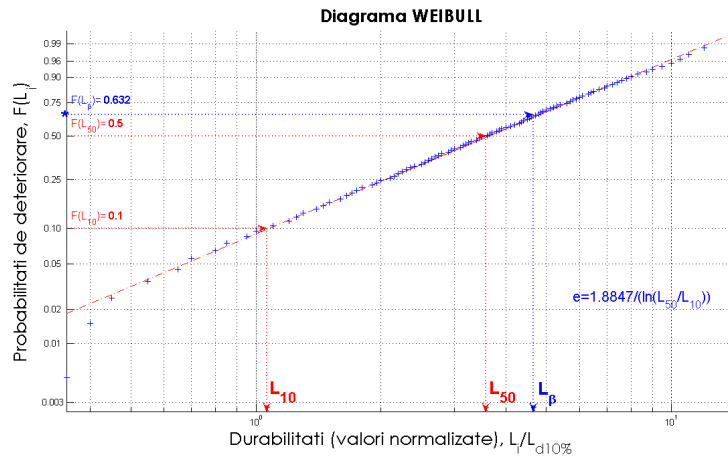


Fig. 6 Diagrama Weibull durabilitate – probabilitate de deteriorare

3. Instalația experimentală și metodică încercărilor de durabilitate

3.1. Standul de încercat rulmenți la durabilitate

Încercările de durabilitate ale rulmenților se realizează pe linii de încercat ce conțin un număr de standuri de construcție identică dispuse ca în figura 7, pe care se montează câte doi rulmenți selectați din loturi de rulmenți identici. Standurile S1–S6 sunt așezate pe blocuri de beton B1–B6 care asigură rigidizarea în vederea eliminării vibrațiilor perturbatorii externe.

Standul de încercare utilizat este schematizat în figura 8.

Pe arborele standului de încercare sunt montați echidistant 4 rulmenți de încercat, figura 8. Inelele exterioare ale rulmenților de pe capete sunt montate în bucșe fixate în alezajele carcusei, în timp ce inelele exterioare ale celor doi rulmenți mediani sunt montate în bucșa ce primește încărcarea radială corespunzătoare pentru doi rulmenți, figura 8.

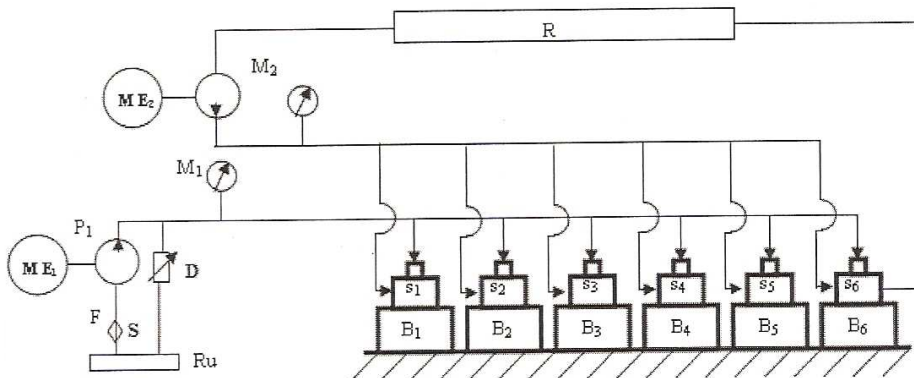


Fig. 7 Schema liniei de încercare la durabilitate

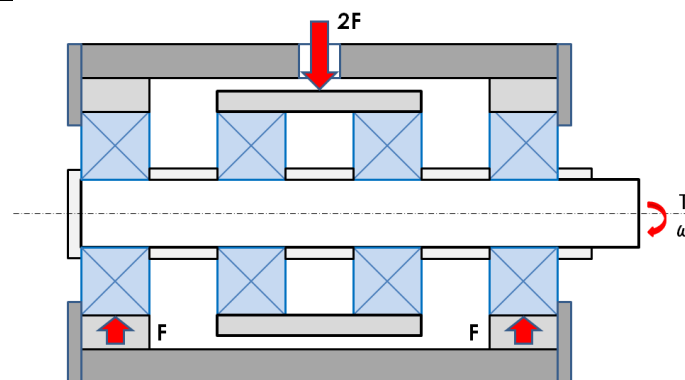


Fig. 8 Schema de montare și încărcare a rulmenților

Arborele este antrenat în mișcare de rotație prin intermediul unui cuplaj de la un electromotor asincron trifazat cu rotorul în scurtcircuit și având turația nominală de 2880 rot/min.

Sistemul de încărcare este hidrostatic, fiind realizat centralizat pentru toate mașinile liniei de încercare, figura 7.

Ungerea rulmenților de încercat este realizată prin baia de ulei proprie fiecărui stand. Pentru fiecare stand răcirea corpului și a bucșei intermediare se face cu apă, răcită în exterior.

Aprecierea temperaturii în timpul funcționării standului este realizată prin intermediul unor termocuple montate în baia de ulei.

Prin montarea unui *traductor de vibrații pe fiecare stand* și conectarea acestora la un sistem centralizat de monitorizare se realizează o apreciere obiectivă a momentului apariției pitting-ului. Modificarea bruscă a conținutului în frecvență și a amplitudinii zgomotului ce însoțește funcționarea unui stand este o indicație sigură privind apariția pe una din căile de rulare a unei deteriorări.

3.2. Efectuarea încercărilor

În funcție de durată încercările de durabilitate pot fi:

- i. *încercări complete* – testul continuă până la distrugerea ultimului rulment din lot;
- ii. *încercări trunchiate și cenzurate* – încercările se opresc la deteriorarea unui anumit număr r de rulmenți, ($r < n$).

Se asigură aceleași condiții de încercare: turație, forță radială, lubrificație, temperatură, pentru toți rulmenții lotului.

Se înregistrează numărul de ore după care a apărut deteriorarea prin oboseală de contact, figura 9, pentru fiecare rulment. Orice rulment deteriorat este înlocuit cu un rulment nou care însă nu mai este considerat în continuare ca făcând parte din lotul inițial supus încercării.



a - Inel interior, rulment radial cu bile



b - Inel interior, rulment radial cu bile



c - Inel interior, rulment radial oscilant cu role butoi



d - Inel interior, rulment radial cu role cilindrice

Fig. 9 Deteriorări prin oboseală de contact la căile de rulare ale rulmenților radiați

4. Prelucrarea și interpretarea rezultatelor experimentale

Rezultatele experimentale sunt reprezentate de numărul de ore h_i de funcționare până la deteriorare prin fenomen de oboseală de contact, a fiecărui rulment din lot.

- Se ordonează crescător șirul durabilităților rulmenților din lotul încercat.
- Se determină durabilitățile în milioane de rotații,

$$L_i = \frac{60 \cdot n \cdot h_i}{10^6} \quad (16)$$

unde n este turația de funcționare, iar i reprezintă numărul de ordine al rulmentului.

- Pentru fiecare rulment i din vectorul durabilităților L_i se calculează probabilitatea de deteriorare:

$$P(i) = \frac{i - 0,3}{n_r + 0,4} \quad (17)$$

unde n_r este numărul total de rulmenți din lotul încercat, Tabelul 2.

Tabelul 2 Vectorii durabilităților și probabilităților de deteriorare

<i>i</i>	1	2	3	<i>r-1</i>	<i>r</i>
<i>L_i</i> (10 ⁶ rotații)										
<i>P(i)</i>										

d) Folosind softul MATLAB se trasează *diagrama Weibull* în coordonate durabilitate L_i – probabilitate de deteriorare $P(i)$.

e) Din reprezentarea grafică se determină durabilitatea L_{10m} corespunzătoare probabilității de deteriorare $P = 0,1$.

f) Folosind relația (13) se calculează sarcina dinamică de bază C ; exponentul p este funcție de tipul rulmentului (3 – rulmenți cu bile, 10/3 – rulmenți cu role) și sarcina dinamică echivalentă este :

$$Q = X \cdot F_r + Y \cdot F_a \quad (18)$$

Pentru rulmenții radiali supuși la o încărcare pur radială, $F_a = 0$ și $X = 1$. Valorile pentru factorii de corecție a_1 și a_{ISO} se determină conform ISO 281-2007, [8].

Bibliografie

1. Weibull, W, 1951, *A statistical distribution function of large applicability*, ASME Journal of Applied Mechanics, pp. 293-297.
2. Lundberg, G., Palmgren, A., 1947, *Dynamic capacity of rolling bearings*, Acta Polytechnica - Mechanical Engineering Series, 1, No. 3, pp. 1-52.
3. Lundberg, G., Palmgren A., 1952, *Dynamic capacity of roller bearings*, Acta Polytechnica- Mechanical Engineering Series, 2, No. 4, pp. 92-127.
4. Crețu, S., 2009, *Contactul concentrat elastic-plastic*, Editura Polytehniun, Iași.
5. SKF Group, 2008, *General Catalogue*.
6. Ioannides, E., Harris, T., 1985, *A new fatigue life model for rolling bearings*, ASME Journal of Tribology, 107, pp. 367- 377.
7. Ioannides, E., Bergling, G., Gabelli, A., 1999, *An analytical formulation for the life of rolling bearings*, Acta Polytechnica Scandinavica, 137, pp. 1-80.
8. ISO 281, 2007, *Rolling Bearings – dynamic load rating and rating life*.
9. ISO/TS 16281, 2008, *Rolling Bearings – Methods of calculating the modified reference rolling life for universally loaded bearings*.
10. Gafițanu, M., Năstase, D., Crețu, S., Olaru, D., 1985, *Rulmenți – proiectare și tehnologie*, Editura Tehnică, București.
11. Pop, D., Tudose, L., Haragaș, S., 2006, *Lagăre cu rulmenți – proiectare*, Editura Todesco, Cluj-Napoca.
12. <http://www.maintenanceworld.com/Articles/timken/calculatebearing.html#basis>.